



**Министерство науки и высшего образования Российской Федерации**  
**ФЕДЕРАЛЬНОЕ ГОСУДАРСТВЕННОЕ АВТОНОМНОЕ ОБРАЗОВАТЕЛЬНОЕ УЧРЕЖДЕНИЕ ВЫСШЕГО ОБРАЗОВАНИЯ**  
**«Национальный исследовательский университет ИТМО»**  
**(Университет ИТМО)**

Дисциплина: Теория автоматического управления

Отчет  
по лабораторной работе №4:  
«Регуляторы и астатизмы»

Вариант 12

Выполнил:  
Самбрано Браво Рикардо Хосе,  
студент гр. R33352

Преподаватель:  
Пашенко Артем Витальевич,  
фак. СУиР

Санкт-Петербург,  
2023 г.

# СОДЕРЖАНИЕ

ОСНОВНАЯ ЧАСТЬ.....	4
1. Выполнение задания №1 «Задача стабилизации с идеальным дифференцирующим звеном».....	4
1.1 Условие задания №1 «Задача стабилизации с идеальным дифференцирующим звеном».....	4
1.2 Аналитика по полученным графикам и промежуточные результаты по заданию №1 «Задача стабилизации с идеальным дифференцирующим звеном»	4
1.3 Выводы по заданию №1 «Задача стабилизации с идеальным дифференцирующим звеном».....	8
2. Выполнение задания №2 «Задача стабилизации с реальным дифференцирующим звеном».....	8
2.1 Условие задания №2 «Задача стабилизации с реальным дифференцирующим звеном» .....	8
2.2 Аналитика по полученным графикам и промежуточные результаты по заданию №2 «Задача стабилизации с реальным дифференцирующим звеном»9	
2.3 Выводы по заданию №2 «Задача стабилизации с реальным дифференцирующим звеном» .....	11
3. Выполнение задания №3 «Исследование влияния шума».....	12
3.1 Условие задания №3 «Исследование влияния шума» .....	12
3.2 Аналитика по полученным графикам и промежуточные результаты по заданию №3 «Исследование влияния шума» .....	13
3.3 Выводы по заданию №3 «Исследование влияния шума» .....	16
4. Выполнение задания №4 «Задача слежения для системы с астатизмом нулевого порядка».....	16
4.1 Условие задания №4 «Задача слежения для системы с астатизмом нулевого порядка» .....	16
4.2 Аналитика по полученным графикам и промежуточные результаты по заданию №4 «Задача слежения для системы с астатизмом нулевого порядка»17	
4.3 Выводы по заданию №4 «Задача слежения для системы с астатизмом нулевого порядка» .....	22

5. Выполнение задания №5 «Задача слежения для системы с астатизмом первого порядка» .....	23
5.1 Условие задания №5 «Задача слежения для системы с астатизмом первого порядка» .....	23
5.2 Аналитика по полученным графикам и промежуточные результаты по заданию №5 «Задача слежения для системы с астатизмом первого порядка» .	24
5.3 Выводы по заданию №5 «Задача слежения для системы с астатизмом первого порядка».....	30
ЗАКЛЮЧЕНИЕ .....	31

# ОСНОВНАЯ ЧАСТЬ

## 1. Выполнение задания №1 «Задача стабилизации с идеальным дифференцирующим звеном»

### 1.1 Условие задания №1 «Задача стабилизации с идеальным дифференцирующим звеном»

Придумайте такие коэффициенты  $a_0$ ,  $a_1$  и  $a_2$  для системы вида

$$a_2\ddot{y} + a_1\dot{y} + a_0y = u \quad (1)$$

чтобы она содержала хотя бы один неустойчивый полюс. Возьмите регулятор вида

$$u = k_0y + k_1\dot{y} \quad (2)$$

и задайте такие отличные от нуля значения  $k_0$  и  $k_1$ , при которых замкнутая система будет устойчивой. Выполните моделирование с отличными от нуля начальными условиями  $y(0)$ ,  $\dot{y}(0)$  и постройте графики выхода разомкнутой и замкнутой системы

### 1.2 Аналитика по полученным графикам и промежуточные результаты по заданию №1 «Задача стабилизации с идеальным дифференцирующим звеном»

$$a_0 = 4, \quad a_1 = -1, \quad a_2 = 1$$

$$\ddot{y} - \dot{y} + 4y = u \quad (3)$$

$$u = -50y - 5\dot{y} \quad (4)$$

$$y(0) = 5, \quad \dot{y}(0) = 8$$

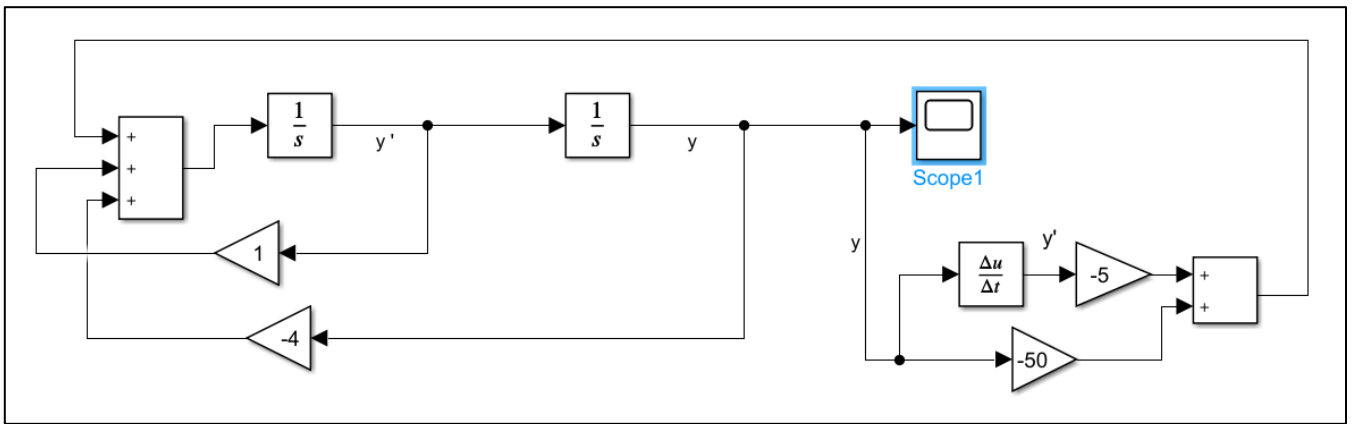


Рисунок 1 - Схема системы с регулятором

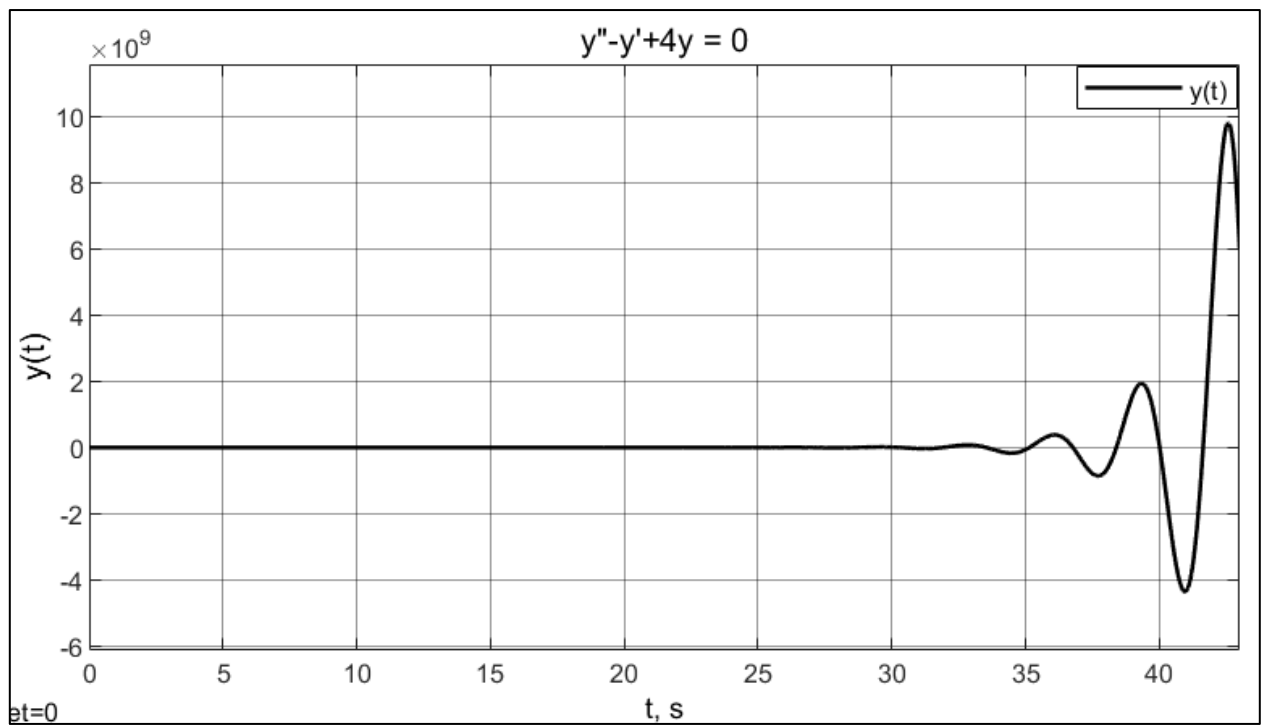


Рисунок 2 - Выход системы  $y(t)$  без регулятора

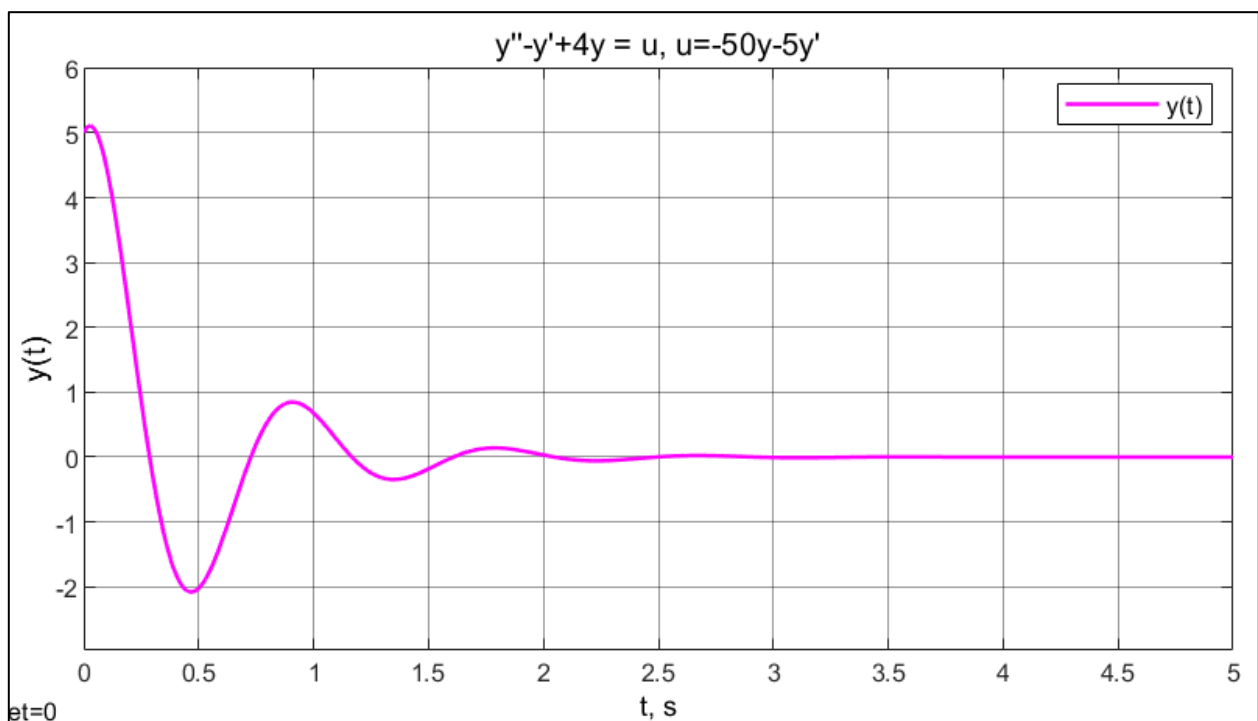


Рисунок 3 - Выход системы  $y(t)$  с регулятором

Переходим к использованию другого варианта коэффициентов:

$$a_0 = -10, a_1 = -5, a_2 = 1$$

$$\ddot{y} - 5\dot{y} - 10y = u \quad (5)$$

$$u = -25y - 6\dot{y} \quad (6)$$

$$y(0) = 15, \dot{y}(0) = 2$$

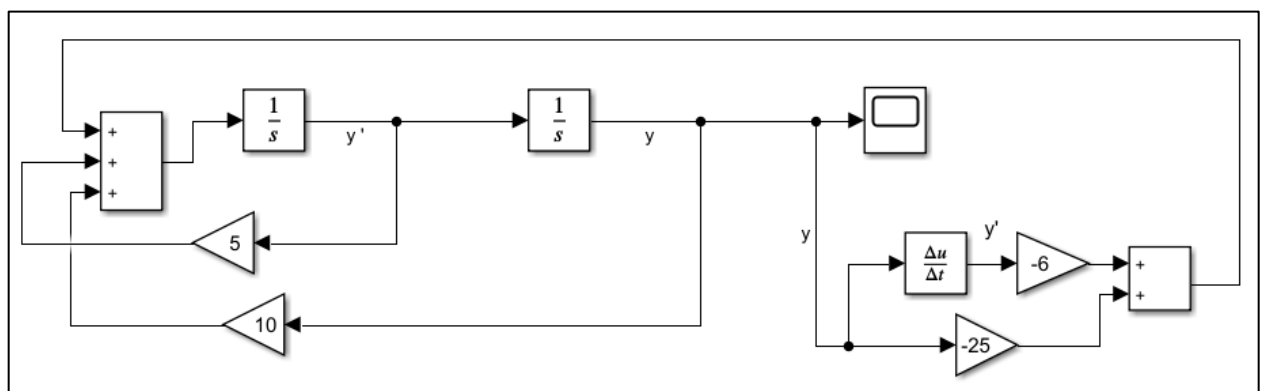


Рисунок 4 - Схема системы с регулятором

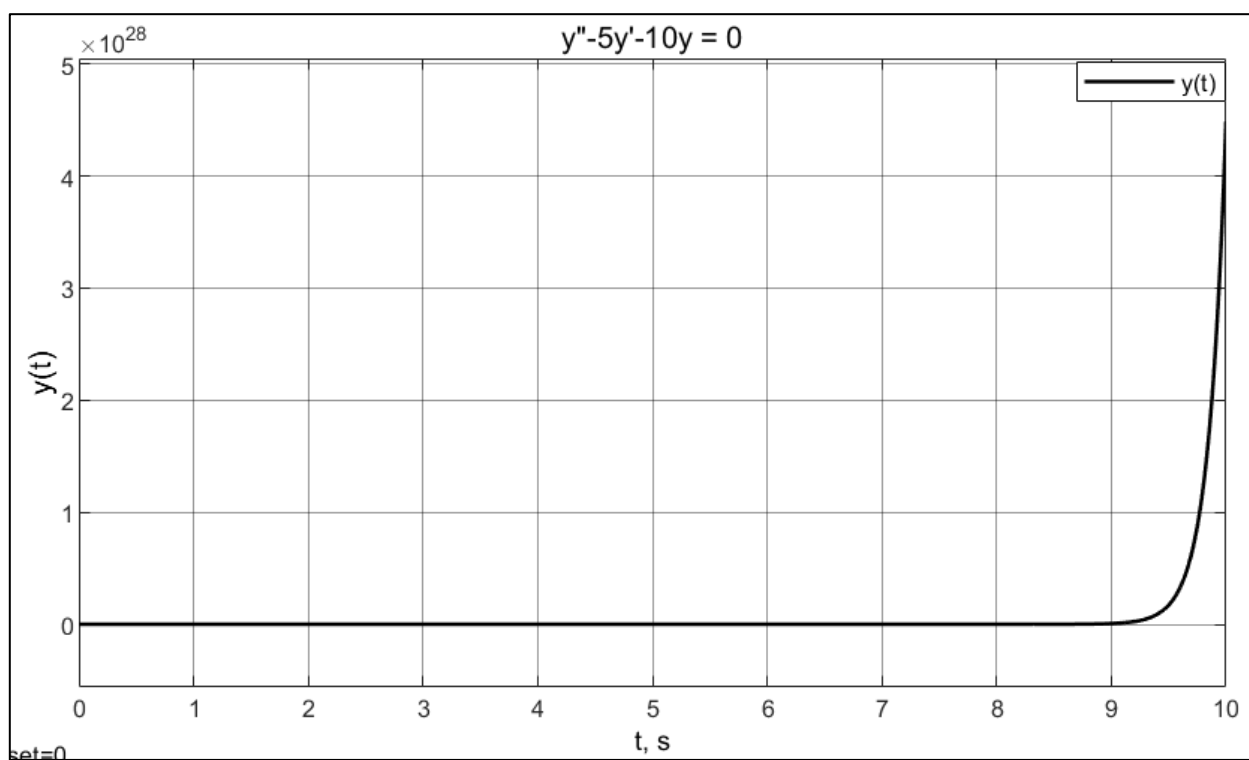


Рисунок 5 - Выход системы  $y(t)$  без регулятора

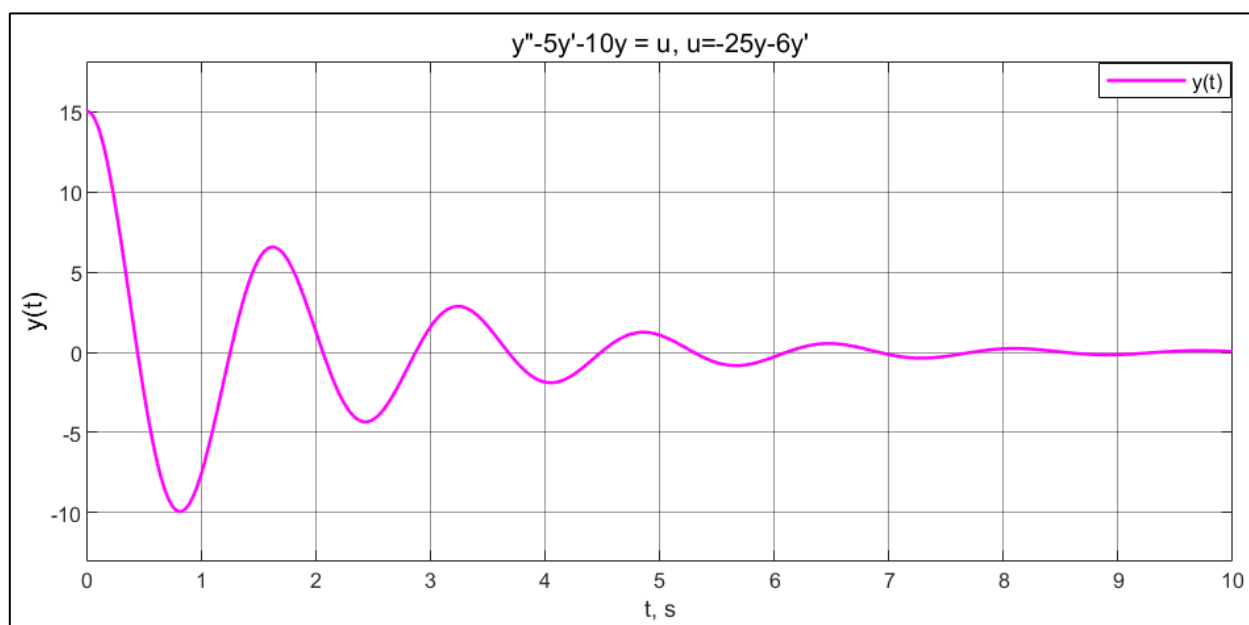


Рисунок 6 - Выход системы  $y(t)$  с регулятором

### **1.3 Выводы по заданию №1 «Задача стабилизации с идеальным дифференцирующим звеном»**

В данной задаче были найдены коэффициенты  $a_0$ ,  $a_1$  и  $a_2$  для системы управления второго порядка с условием наличия хотя бы одного неустойчивого полюса. Далее был введен регулятор второго порядка для стабилизации системы. Были выбраны значения  $k_0$  и  $k_1$  так, чтобы замкнутая система оказалась устойчивой.

После этого было проведено моделирование с различными начальными условиями для  $y(0)$  и  $y'(0)$ . Графики выхода разомкнутой и замкнутой системы показали, что введенный регулятор успешно обеспечивает стабильность системы при выбранных значениях коэффициентов.

## **2. Выполнение задания №2 «Задача стабилизации с реальным дифференцирующим звеном»**

### **2.1 Условие задания №2 «Задача стабилизации с реальным дифференцирующим звеном»**

Измените систему из предыдущего задания, заменив блок Derivative на передаточную функцию вида

$$W_{p.\text{диф.}}(s) = \frac{s}{Ts + 1} \quad (7)$$

Определите аналитически критическое значение параметра  $T$ , при котором система становится неустойчивой. Проведите аналогичное первому заданию моделирование для нескольких различных значений  $T$ , соответствующих устойчивой системе. Приведите соответствующие графики выхода  $y(t)$ .



## 2.2 Аналитика по полученным графикам и промежуточные результаты по заданию №2 «Задача стабилизации с реальным дифференцирующим звеном»

Приступим к расчету области устойчивости системы:

$$k_0 + k_1 \frac{s}{Ts + 1} = a_2 s^2 + a_1 s + a_0 \quad (8)$$

$$(Ts + 1)k_0 + k_1 = (Ts + 1)(a_2 s^2 + a_1 s + a_0) \quad (9)$$

$$a_2 Ts^3 + (a_1 T + a_2)s^2 + (a_0 T + a_1 - Tk_0 - k_1)s + a_0 - k_0 = 0 \quad (10)$$

$$1Ts^3 + (-5T + 1)s^2 + (-10T - 5 + 25T + 6)s - 10 + 25 = 0 \quad (11)$$

$$1Ts^3 + (-5T + 1)s^2 + (15T + 1)s + 15 = 0 \quad (12)$$

Согласно критериям Гурвица:

$$\begin{cases} 1T > 0 \\ -5T + 1 > 0 \\ 15T + 1 > 0 \\ -72T^2 + 10T + 1 > 15T \end{cases} \quad (13)$$

$$\begin{cases} T > 0 \\ T < \frac{1}{5} \\ T > -\frac{1}{15} \\ T < \frac{\sqrt{313} - 5}{144} \end{cases}$$

$$T < 0.087$$

Можно заключить, что система устойчива, когда  $T$  имеет значение меньше 0,087. Приступаем к составлению схемы и видим результаты:

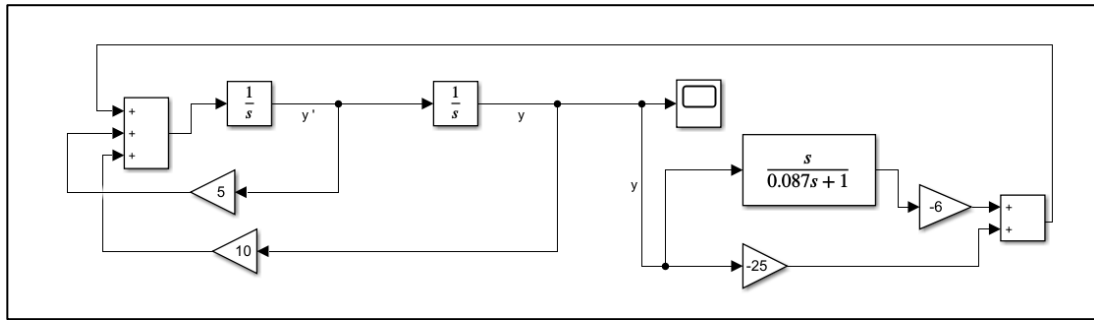


Рисунок 7 - Схема стабилизации с реальным дифференцирующим регулятором

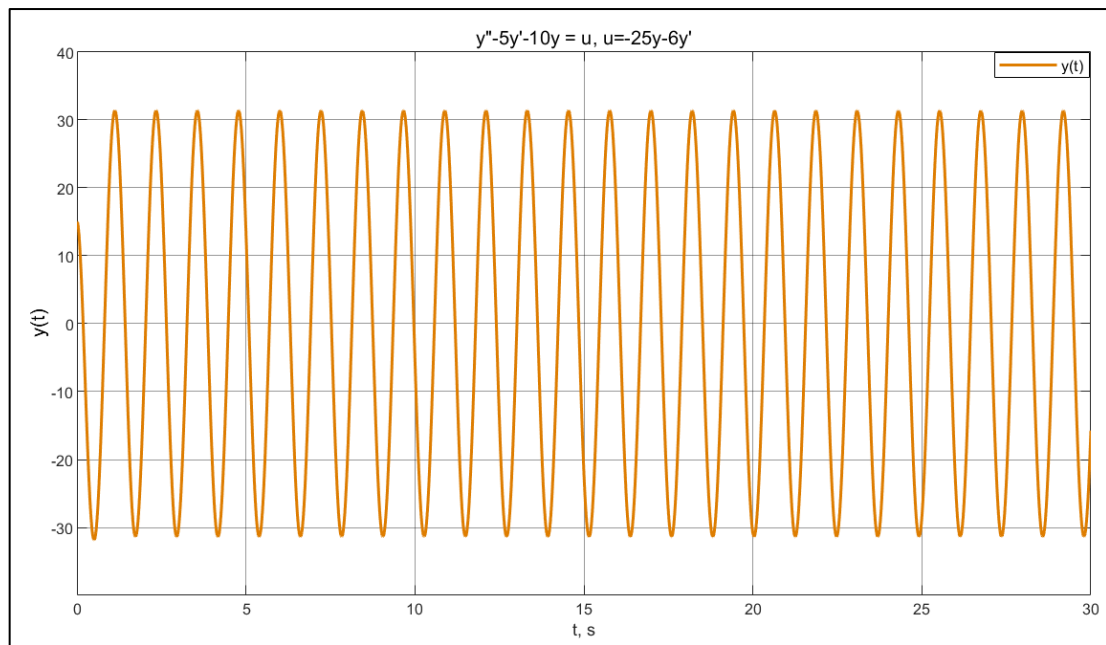


Рисунок 8 - Выход  $y(t)$  системы при  $T = 0,087$

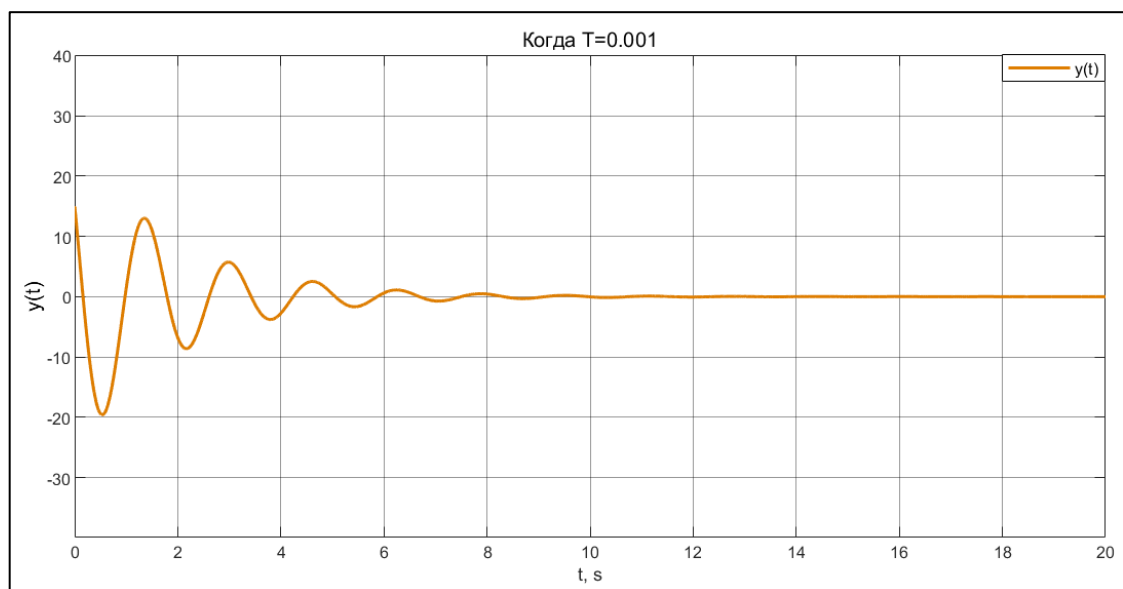


Рисунок 9 - Выход  $y(t)$  системы при  $T = 0,001$

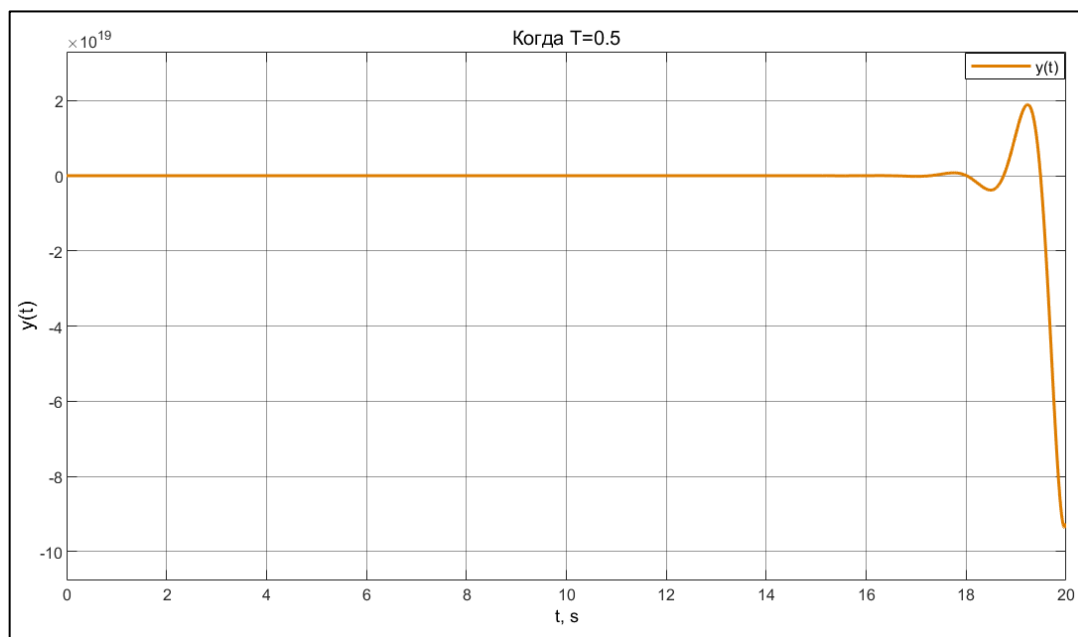


Рисунок 10 - Выход  $y(t)$  системы при  $T = 0,5$

### 2.3 Выводы по заданию №2 «Задача стабилизации с реальным дифференцирующим звеном»

В данном упражнении мы производим замену блока дифференциатора на передаточную функцию вида  $W_{p.дифф.}(s) = \frac{s}{Ts+1}$ .

Аналитически определено критическое значение параметра  $T$ , при котором система становится неустойчивой. Далее было проведено моделирование для различных значений  $T$ , соответствующих устойчивой системе. Графики выхода  $y(t)$  показывают, что при значениях  $T$ , меньших критического, система остается устойчивой, в то время как при значениях  $T$ , больших критического, система проявляет неустойчивость.

### **3. Выполнение задания №3 «Исследование влияния шума»**

#### **3.1 Условие задания №3 «Исследование влияния шума»**

Исследуйте влияние шума на работоспособность замкнутой системы с идеальным и реальным дифференцирующими звеньями. Для этого добавьте шум ко входам регуляторов каждой из систем предыдущих пунктов (рис. 2). Для генерации шума используйте блок *Band-Limited White Noise* со следующими параметрами: *noise power* = 0.01 и *sample time* = 0.01.

Сопоставьте выходы систем с шумом и без и сделайте вывод о поведении дифференцирующего звена при наличии шума, приведите соответствующие графики выходов  $y(t)$ .

Исследуйте влияние параметра  $T$  на чувствительность системы, замкнутой реальным дифференцирующим звеном, к шуму, проведя моделирование для нескольких различных значений параметра  $T$ , соответствующих устойчивой системе. Приведите соответствующие графики выхода  $y(t)$ .

### 3.2 Аналитика по полученным графикам и промежуточные результаты

по заданию №3 «Исследование влияния шума»

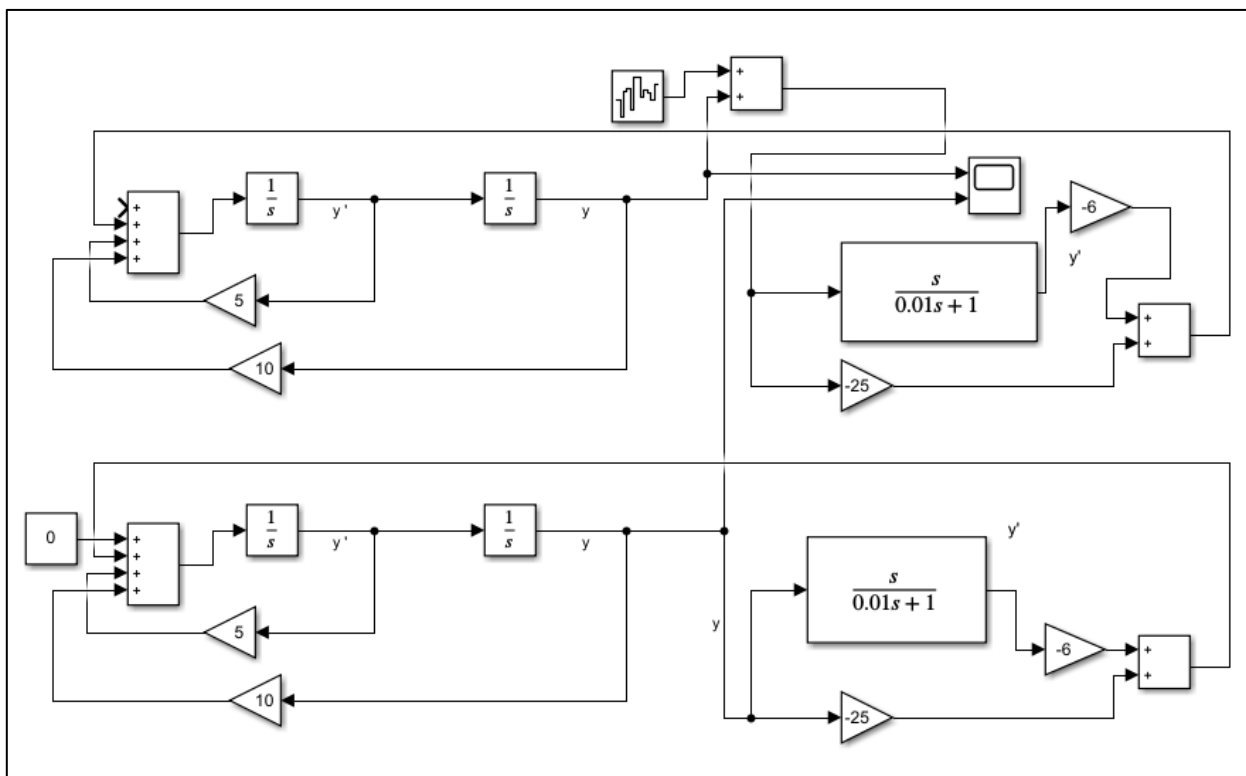


Рисунок 11 - Схема системы с шумом и без шума

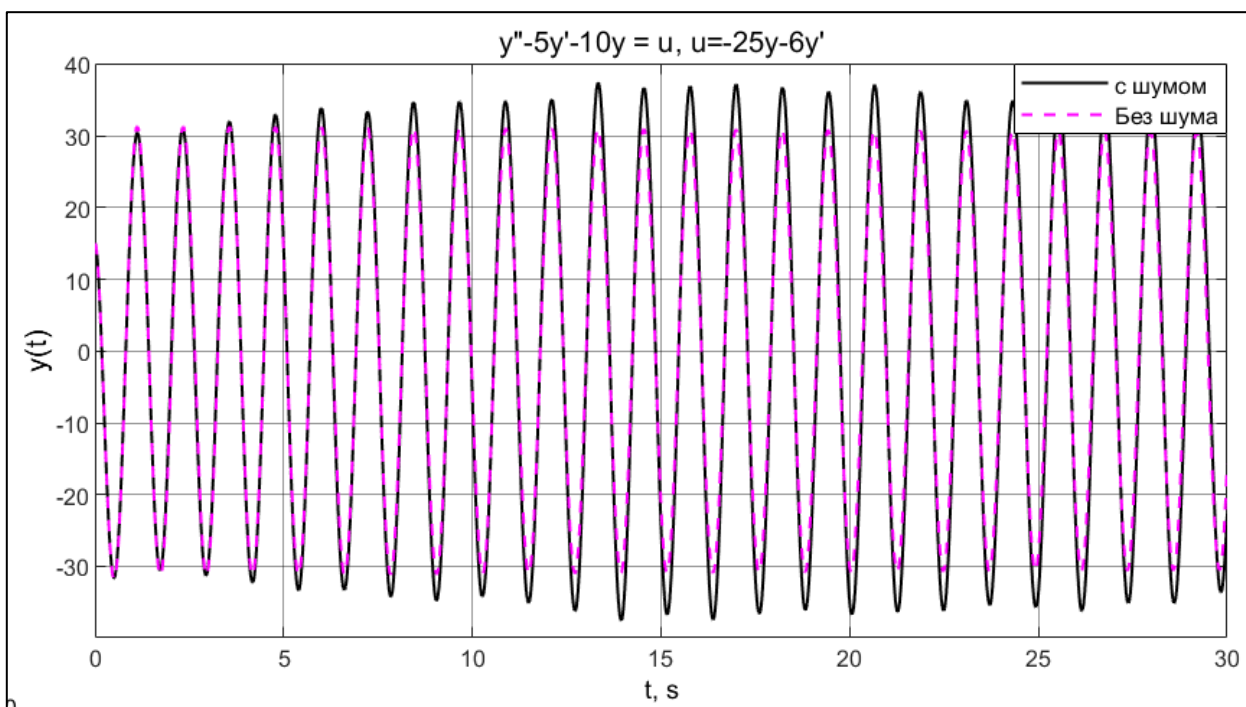


Рисунок 12 - Выход  $y(t)$  системы при  $T = 0,087$

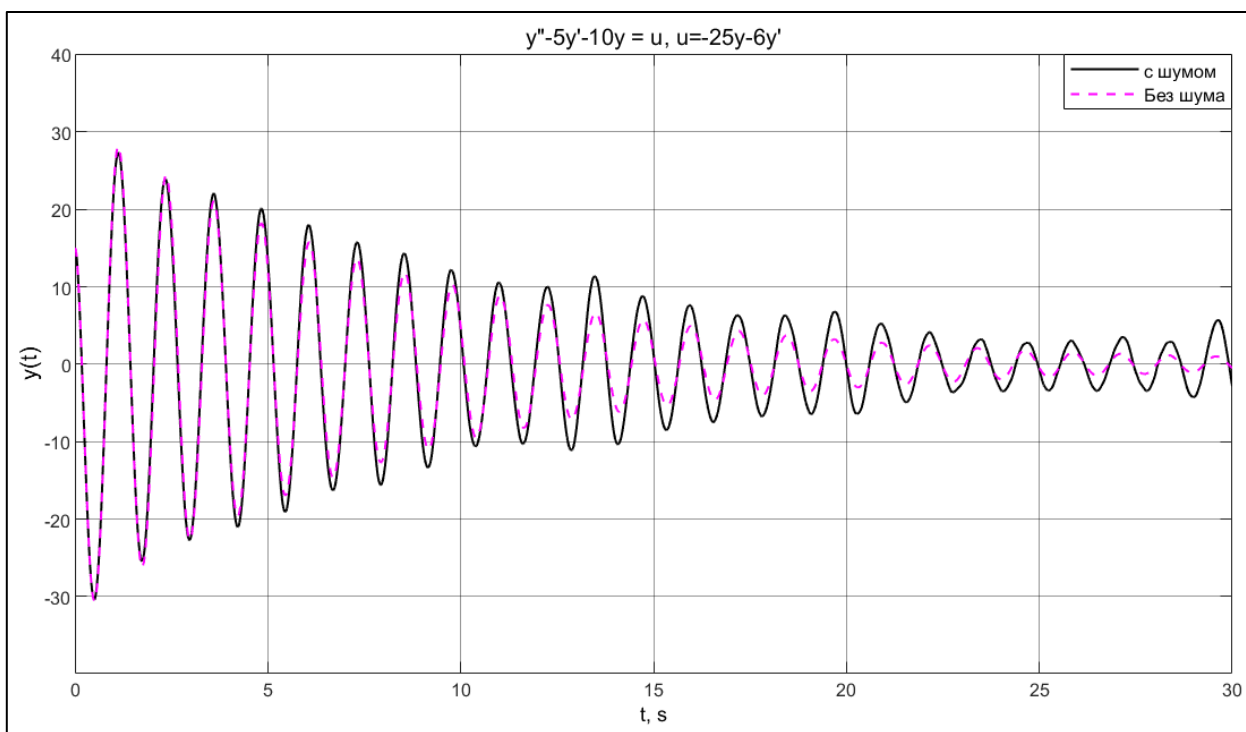


Рисунок 13 - Выход  $y(t)$  системы при  $T = 0,07$

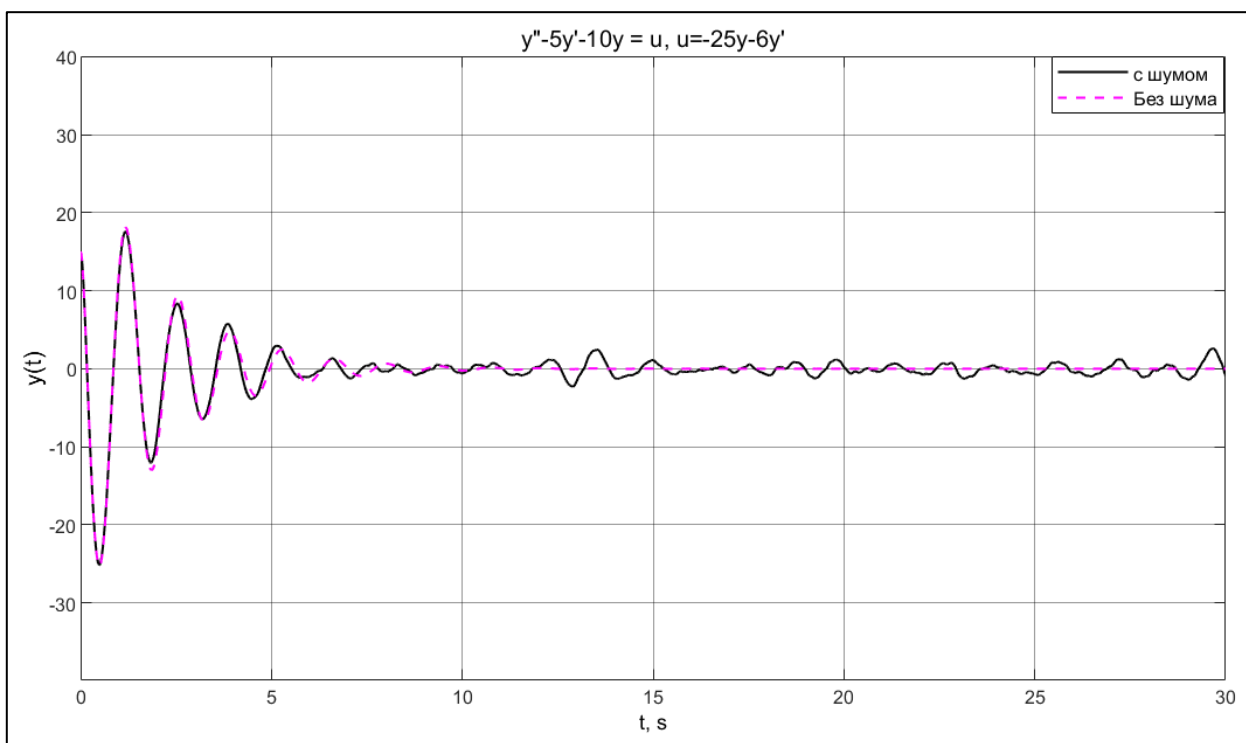


Рисунок 14 - Выход  $y(t)$  системы при  $T = 0,02$

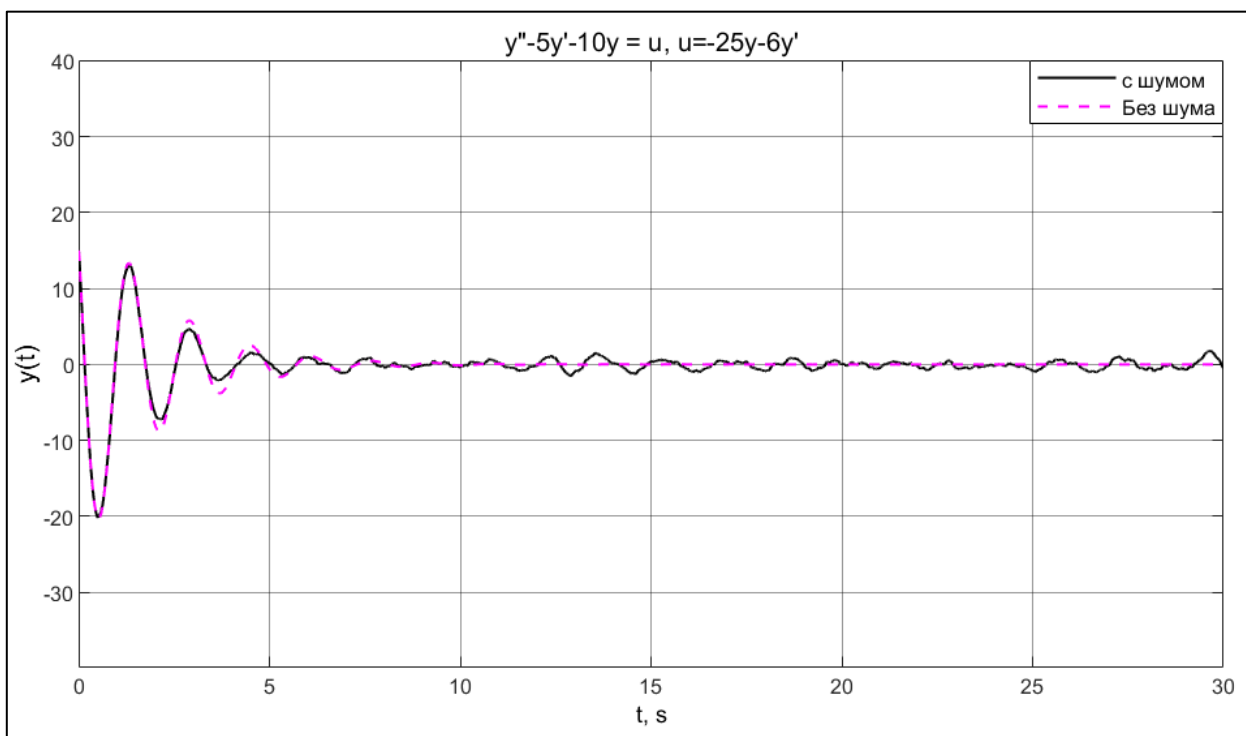


Рисунок 15 - Выход  $y(t)$  системы при  $T = 0,001$

### **3.3 Выводы по заданию №3 «Исследование влияния шума»**

В процессе исследования влияния шума на работу системы с идеальным и реальным дифференцирующими звеньями были получены следующие результаты:

#### **3.3.1 Шум и идеальное дифференцирующее звено:**

Добавление шума на входы регулятора оказывает заметное влияние на систему с реальным дифференциатором. Система не сходится к определенной точке, а колеблется в узкой области вокруг этой точки, что указывает на влияние шума на устойчивость системы.

#### **3.3.2 Влияние параметра Т на шумочувствительность:**

При исследовании влияния параметра Т на чувствительность системы с реальным дифференцирующим звеном к шуму было замечено, что система становится более чувствительной по мере приближения Т к краю области устойчивости. Однако при очень малых значениях Т чувствительность системы к шуму снижается.

### **4. Выполнение задания №4 «Задача слежения для системы с астатизмом нулевого порядка»**

#### **4.1 Условие задания №4 «Задача слежения для системы с астатизмом нулевого порядка»**

Придумайте ненулевые коэффициенты  $a_0, a_1, b_0, b_1$  для передаточной функции объекта вида

$$W(s) = \frac{b_1 s + b_0}{s^2 + a_1 s + a_0} \quad (14)$$



такие, чтобы система была устойчивой. Замкните систему П-регулятором вида

$$W_{\text{рег}}(s) = k \quad (15)$$

Исследуйте поведение системы в установившемся режиме при задающем воздействии  $g(t) = \alpha = \text{const}$ . Исследуйте влияние значения коэффициента  $k$  на выход системы: постройте графики переходных процессов для различных значений коэффициента регулятора  $k$  и определите значение установившейся ошибки  $\varepsilon(t) = g(t) - y(t)$

Аналогично исследуйте режим движения с постоянной скоростью при задающем воздействии  $g(t) = \beta t + \alpha$  и с синусоидальным воздействием вида  $g(t) = \alpha * \sin(\omega t + \phi)$

**4.2 Аналитика по полученным графикам и промежуточные результаты по заданию №4 «Задача слежения для системы с астатизмом нулевого порядка»**

$$W(s) = \frac{5s + 4}{3s^2 + 2s + 1} \quad (16)$$

$$W_{\text{рег}}(s) = 2$$

$$g(t) = \alpha = 3$$

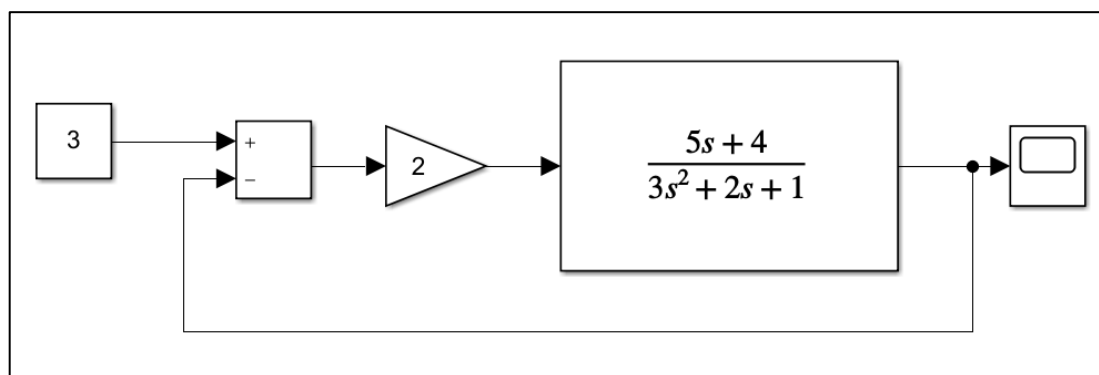


Рисунок 16 - Схема для систем с астатизмом нулевого порядка

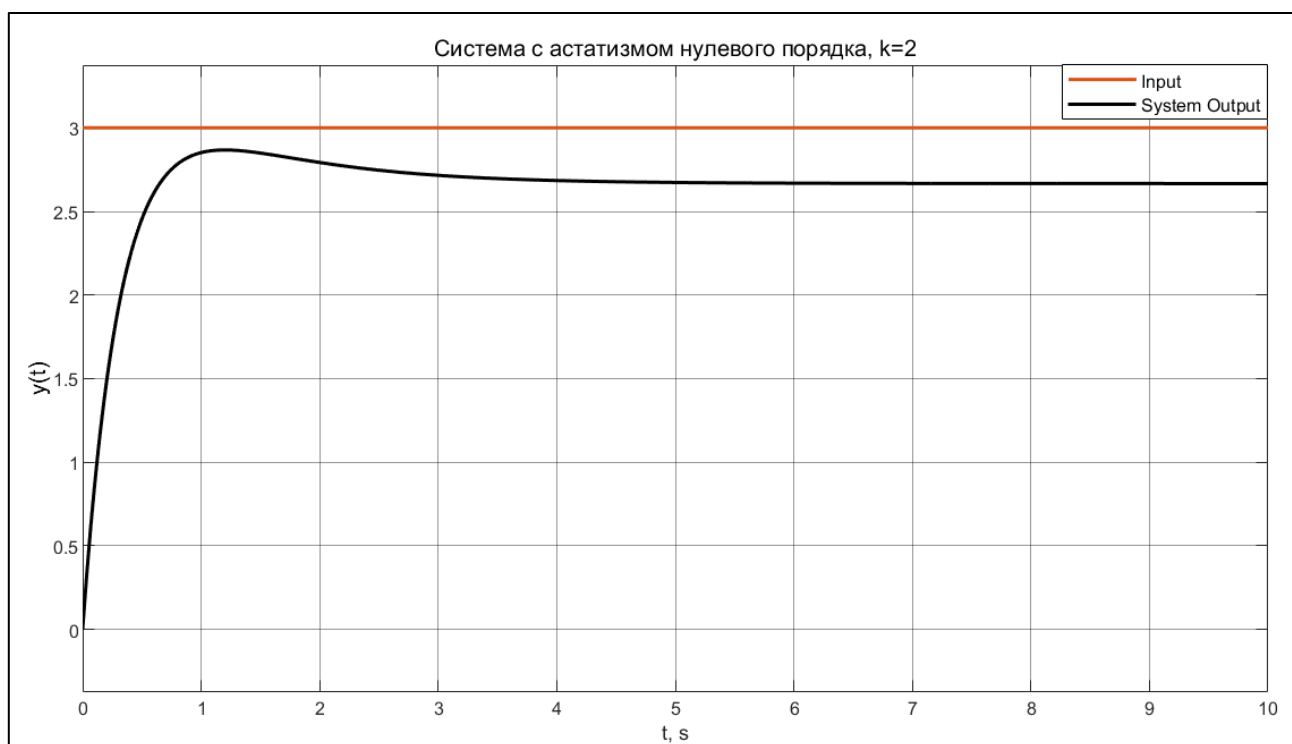


Рисунок 17 - Выход системы для схемы, показанной на рисунке 16

$$\lim_{t \rightarrow \infty} e(t) = e_{уст} \quad (17)$$

$$\lim_{t \rightarrow \infty} e(t) = e_{уст} = 3 - 2.65 = 0.35$$

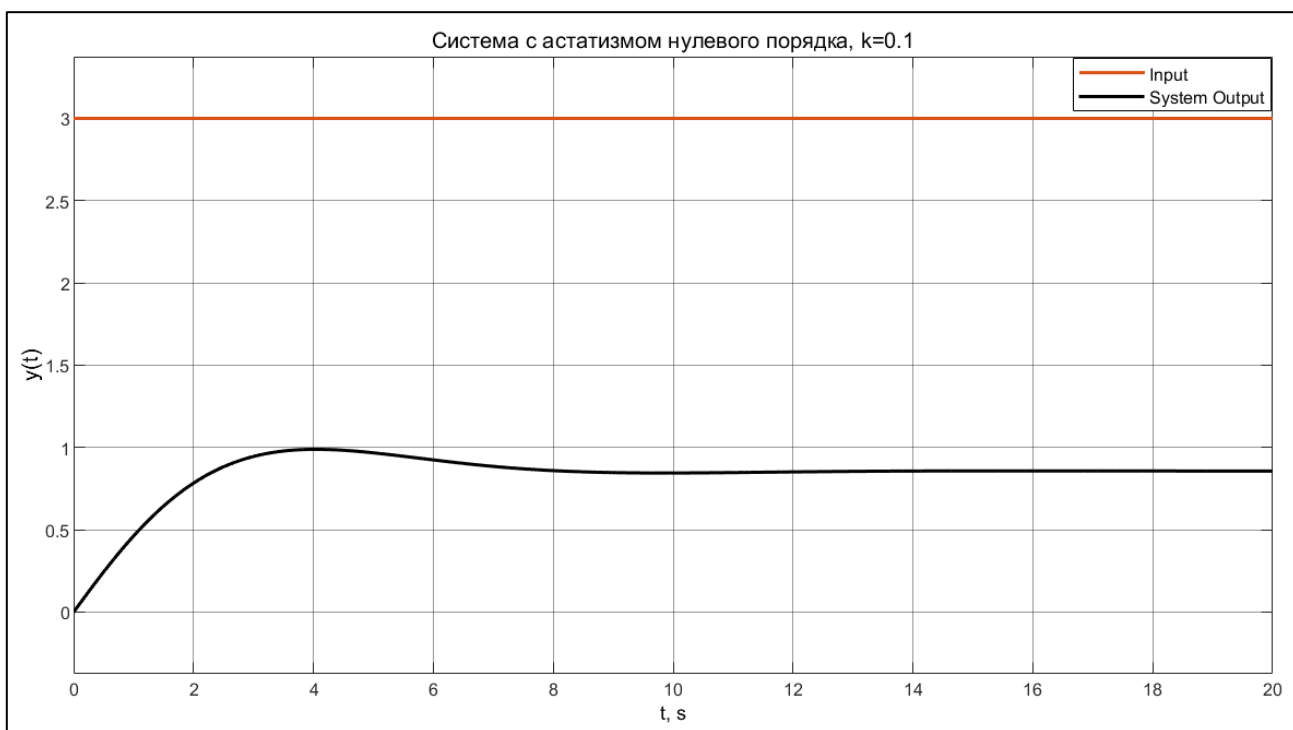


Рисунок 18 - Выход системы при k = 0.1

$$\lim_{t \rightarrow \infty} e(t) = e_{уст} = 3 - 0.86 = 2.14$$

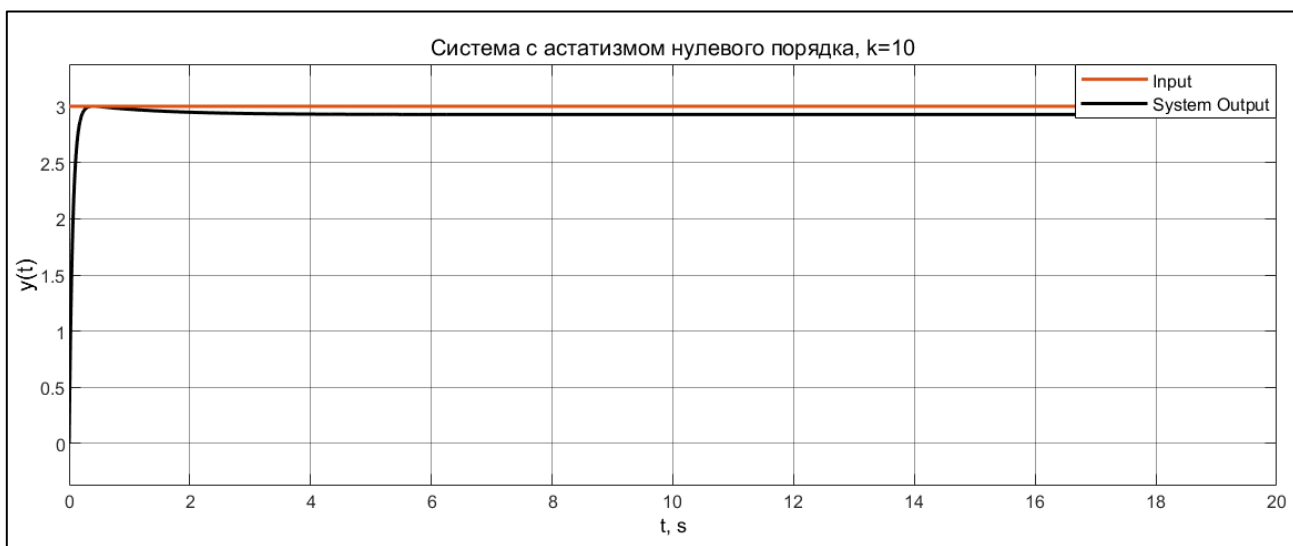


Рисунок 19 - Выход системы при k = 10

$$\lim_{t \rightarrow \infty} e(t) = e_{уст} = 3 - 2.92 = 0.08$$

Входной сигнал заменяется на линейную функцию для анализа выходного сигнала системы:

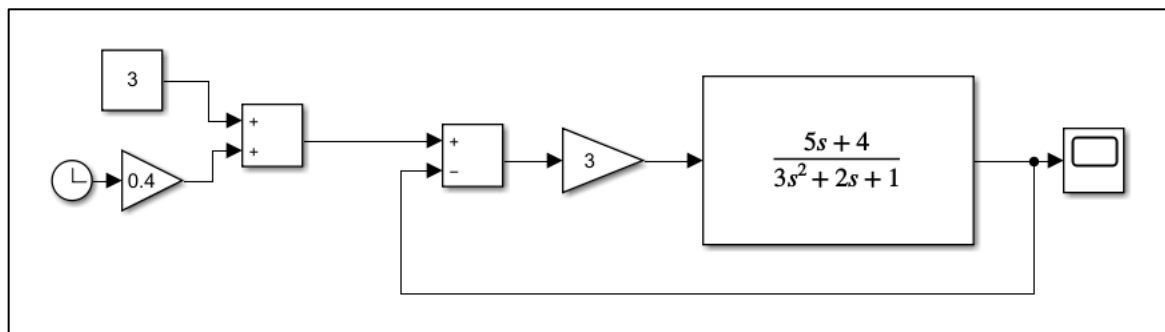


Рисунок 20 - Схема системы для линейного входа

$$g(t) = \beta t + \alpha \quad (18)$$

$$g(t) = 0.4t + 3$$

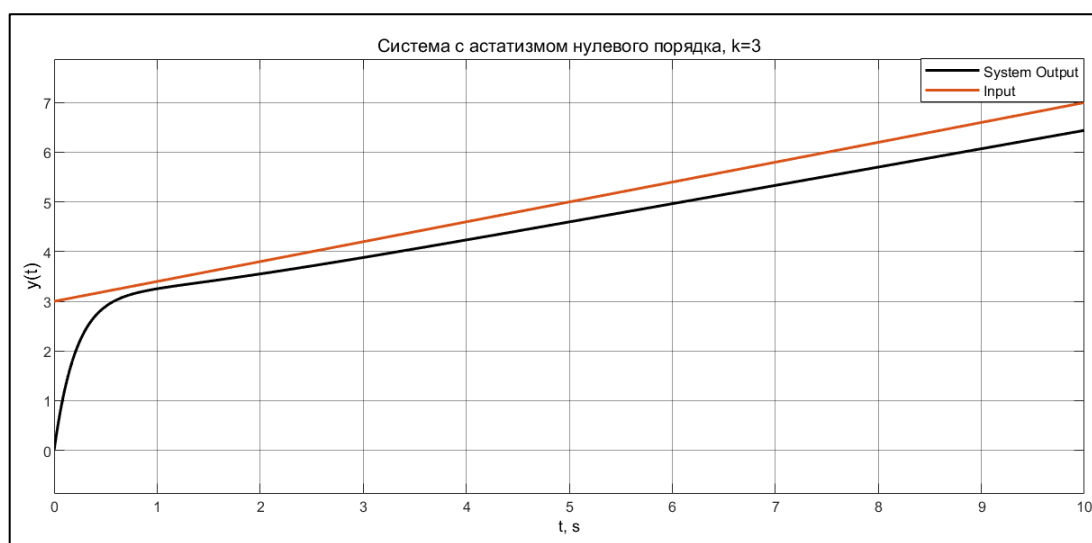


Рисунок 21 - Выход системы для схемы на рисунке 19

Входной сигнал заменяется на гармоническую функцию для анализа выходного сигнала системы:

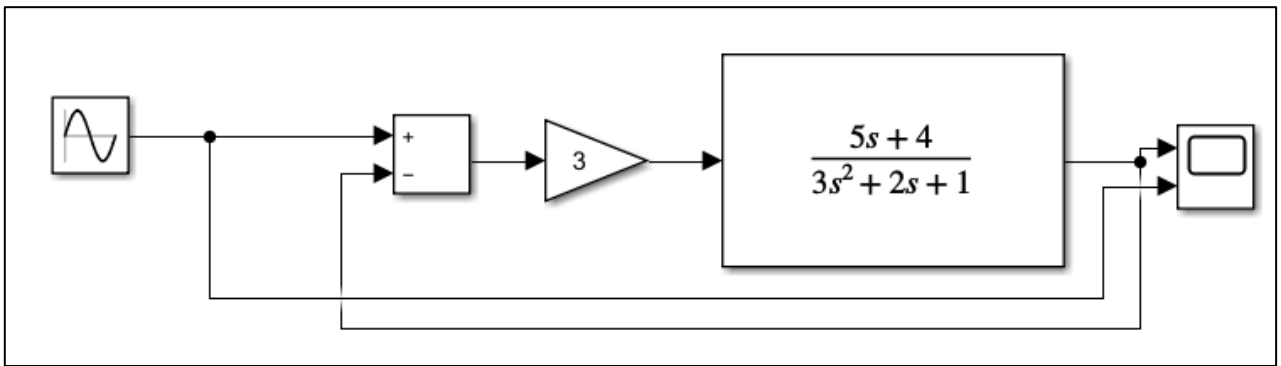


Рисунок 22 - Схема системы для гармонического входного сигнала

$$g(t) = \alpha * \sin(\omega t + \phi) \quad (19)$$

$$g(t) = 8 * \sin(4t + 2)$$

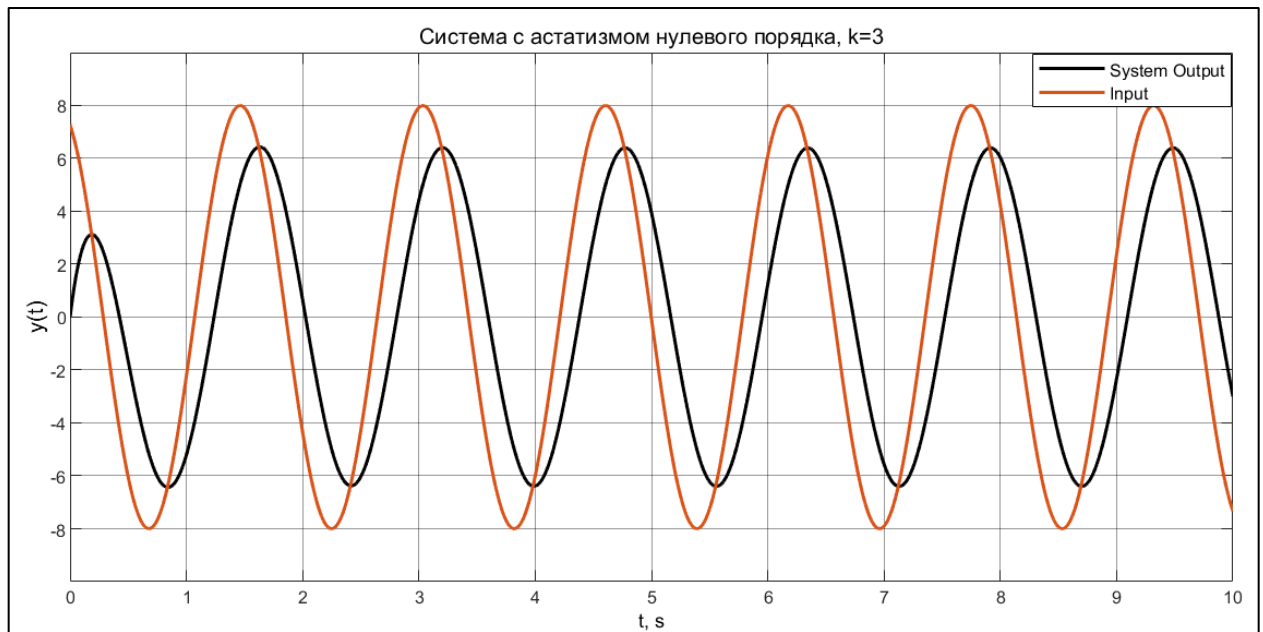


Рисунок 23 - Выход системы для схемы на рисунке 21

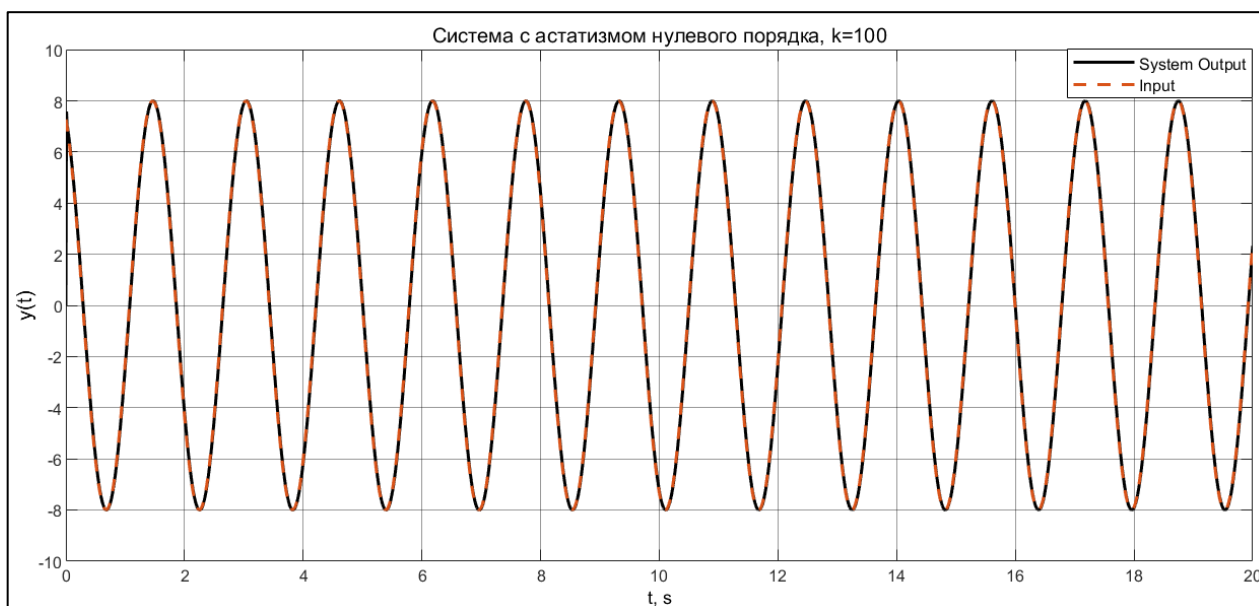


Рисунок 24 - Выход системы для схемы когда  $K = 100$

#### 4.3 Выводы по заданию №4 «Задача слежения для системы с астатизмом нулевого порядка»

В ходе лабораторной работы анализировалась система с астатизмом нулевого порядка, с разными значениями  $K$  и с разными входами.

Как видно на графиках, чем выше значение  $K$ , тем выход системы становится все ближе и ближе к входной функции.

С другой стороны, если мы проанализируем входные данные, когда входные данные постоянны, можно подсчитать, что ошибка с течением времени также является постоянной. Но если входные данные представляют собой линейную функцию, ошибка со временем будет стремиться к бесконечности.

## 5. Выполнение задания №5 «Задача слежения для системы с астатизмом первого порядка»

### 5.1 Условие задания №5 «Задача слежения для системы с астатизмом первого порядка»

Придумайте ненулевые коэффициенты  $a_0, a_1, b_0, b_1$  для передаточной функции объекта вида

$$W(s) = \frac{b_1 s + b_0}{s^2 + a_1 s + a_0}$$

такие, чтобы система была устойчивой. Замкните систему П-регулятором вида

$$W_{\text{пер}}(s) = \frac{k_1}{s} + k_0 \quad (20)$$

Исследуйте поведение системы в установившемся режиме при задающем воздействии  $g(t) = \alpha = \text{const}$ . Постройте графики переходных процессов для различных значений коэффициентов регулятора  $k_0, k_1$  и определите значение установившейся ошибки  $\varepsilon(t) = g(t) - y(t)$ . Исследуйте влияние значения коэффициентов  $k_0, k_1$  на выход системы.

Аналогично исследуйте режим движения с постоянной скоростью при задающем воздействии  $g(t) = \beta t + \alpha$  и с синусоидальным воздействием вида  $g(t) = \alpha * \sin(\omega t + \varphi)$

**5.2 Аналитика по полученным графикам и промежуточные результаты по заданию №5 «Задача слежения для системы с астатизмом первого порядка»**

$$W(s) = \frac{5s + 4}{3s^2 + 2s + 1} \quad (16)$$

$$W_{\text{пер}}(s) = \frac{5}{s} + 2$$

$$g(t) = \alpha = 3$$

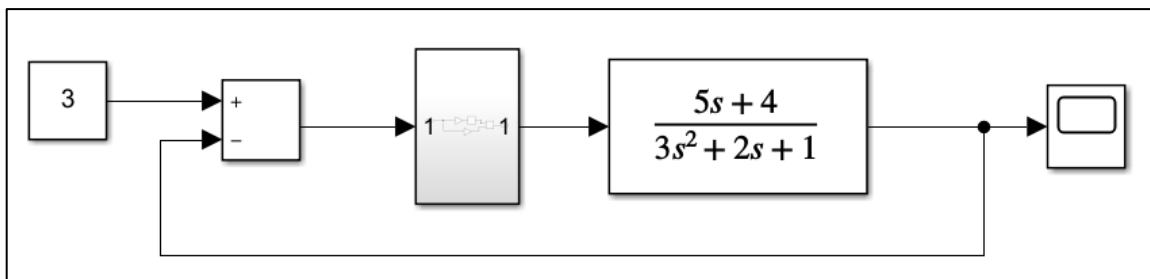


Рисунок 25 - Схема для систем с астатизмом первого порядка

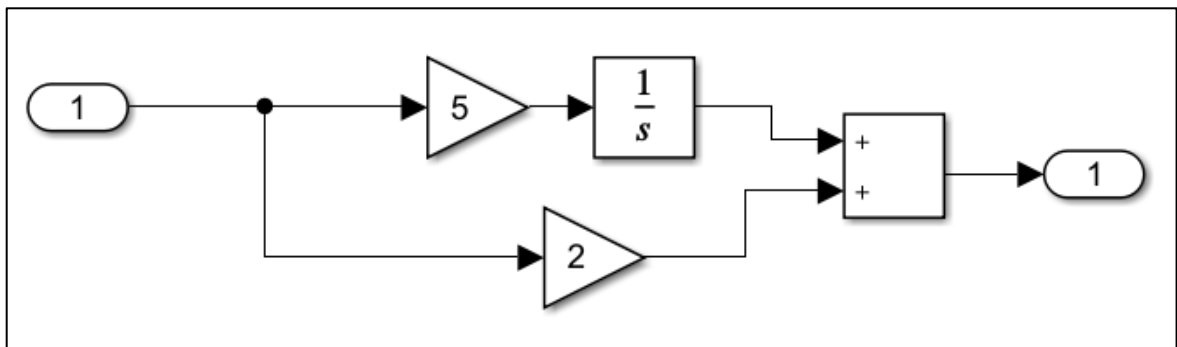


Рисунок 26 - Подсхема представлена на рисунке 24.



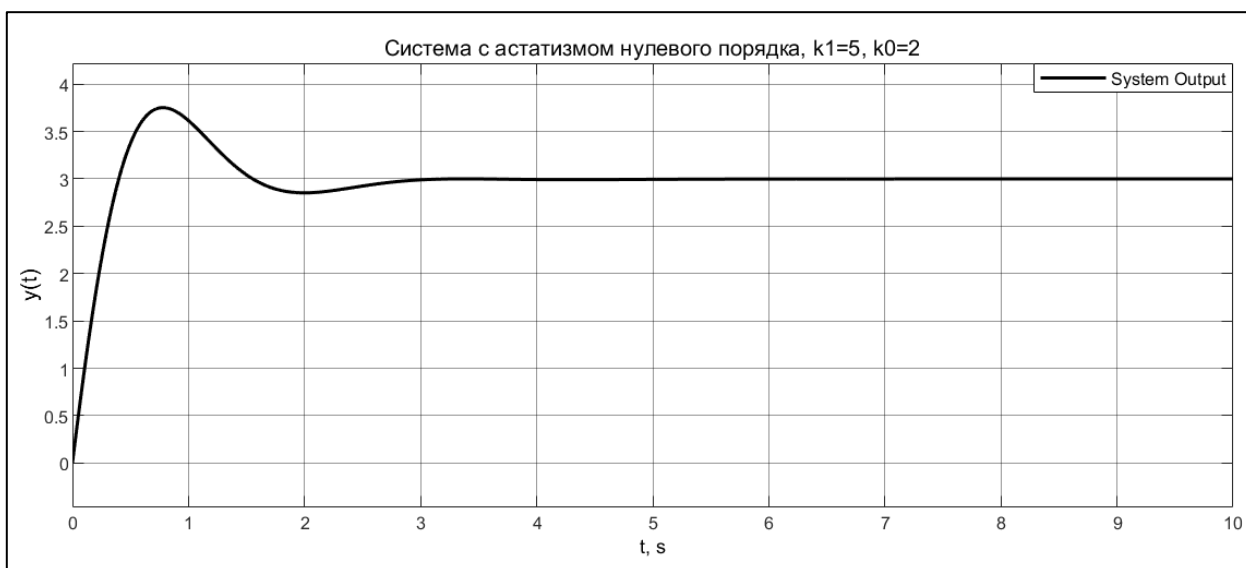


Рисунок 27 - Выход системы на рисунке 24

$$\lim_{t \rightarrow \infty} e(t) = e_{уст} \quad (17)$$

$$\lim_{t \rightarrow \infty} e(t) = e_{уст} = 0$$

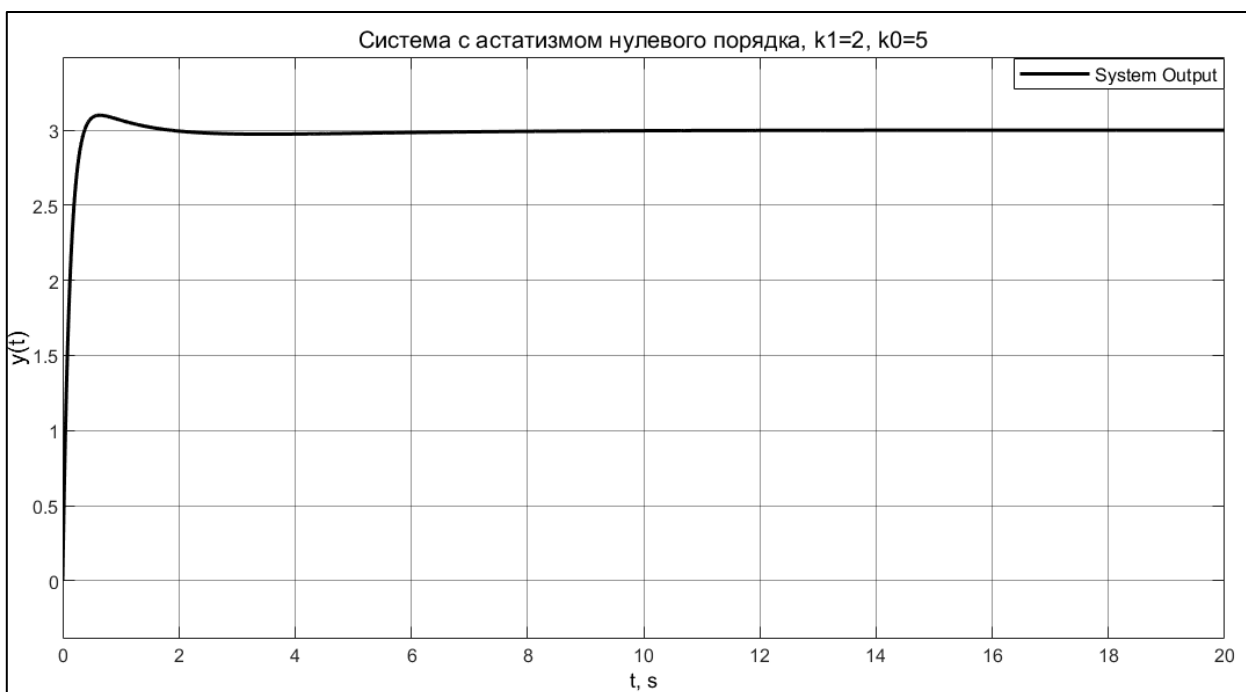


Рисунок 28 - Выход системы при  $k_1 = 2$ ,  $k_0 = 5$

$$\lim_{t \rightarrow \infty} e(t) = e_{уст} = 0$$

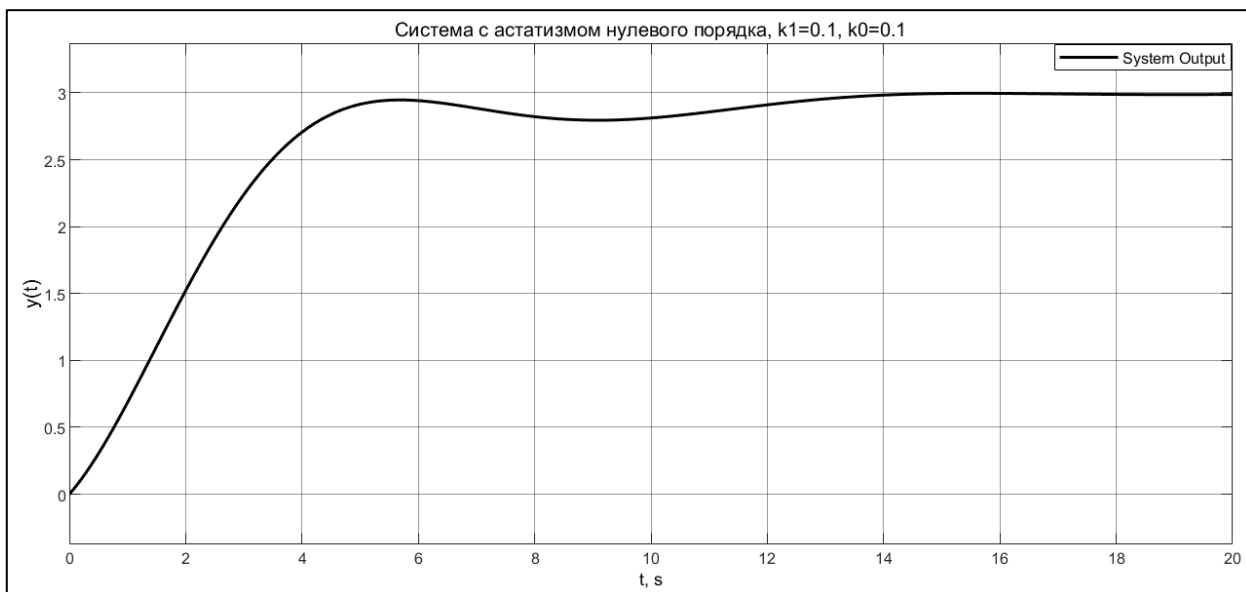


Рисунок 29 - Выход системы при  $k_1 = 0.1$ ,  $k_2 = 0.1$

$$\lim_{t \rightarrow \infty} e(t) = e_{уст} = 0$$

Входной сигнал заменяется на линейную функцию для анализа выходного сигнала системы:

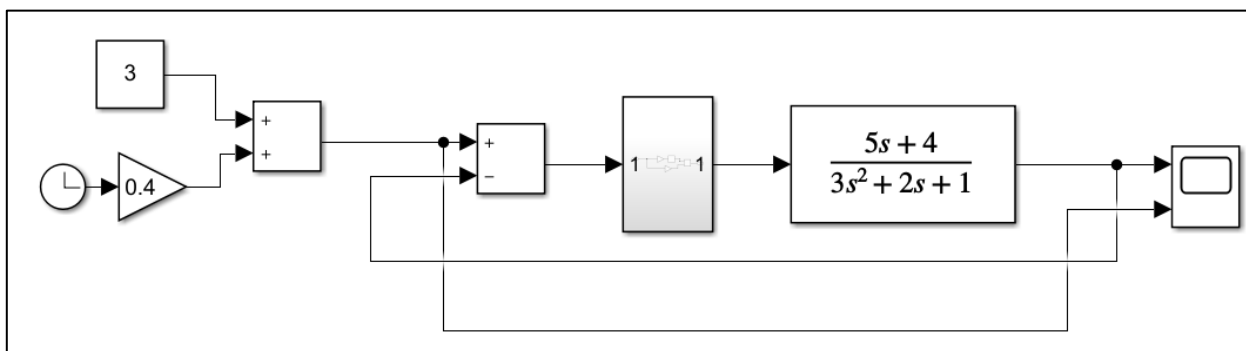


Рисунок 30 - Схема системы для линейного входа

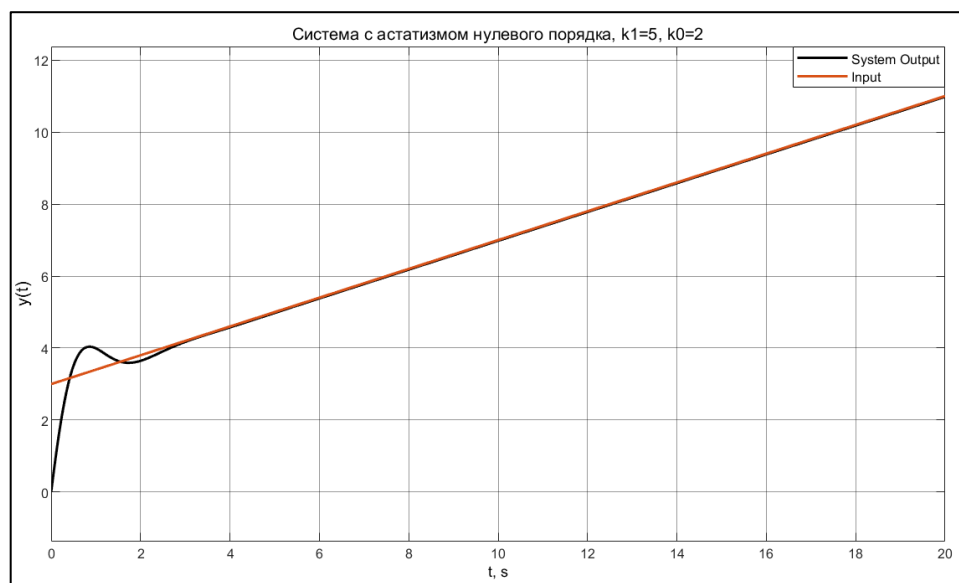


Рисунок 31 - Выход системы при k1 = 5, k0 = 2

$$\lim_{t \rightarrow \infty} e(t) = e_{уст} = 4.6 - 4.57 = 0.03$$

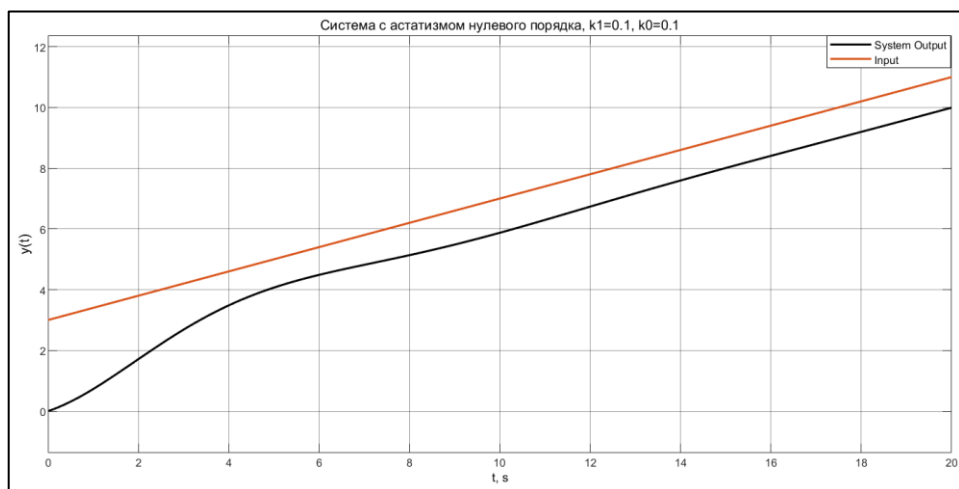


Рисунок 32 - Выход системы при k1 = 0.1, k0 = 0.1

$$\lim_{t \rightarrow \infty} e(t) = e_{уст} = 9.40 - 8.40 = 1$$

Входной сигнал заменяется на гармоническую функцию для анализа выходного сигнала системы:

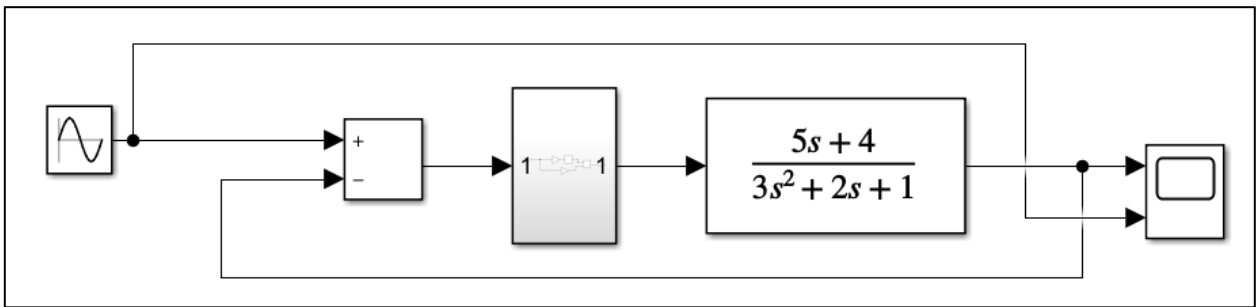


Рисунок 33 - Схема системы для гармонического входного сигнала

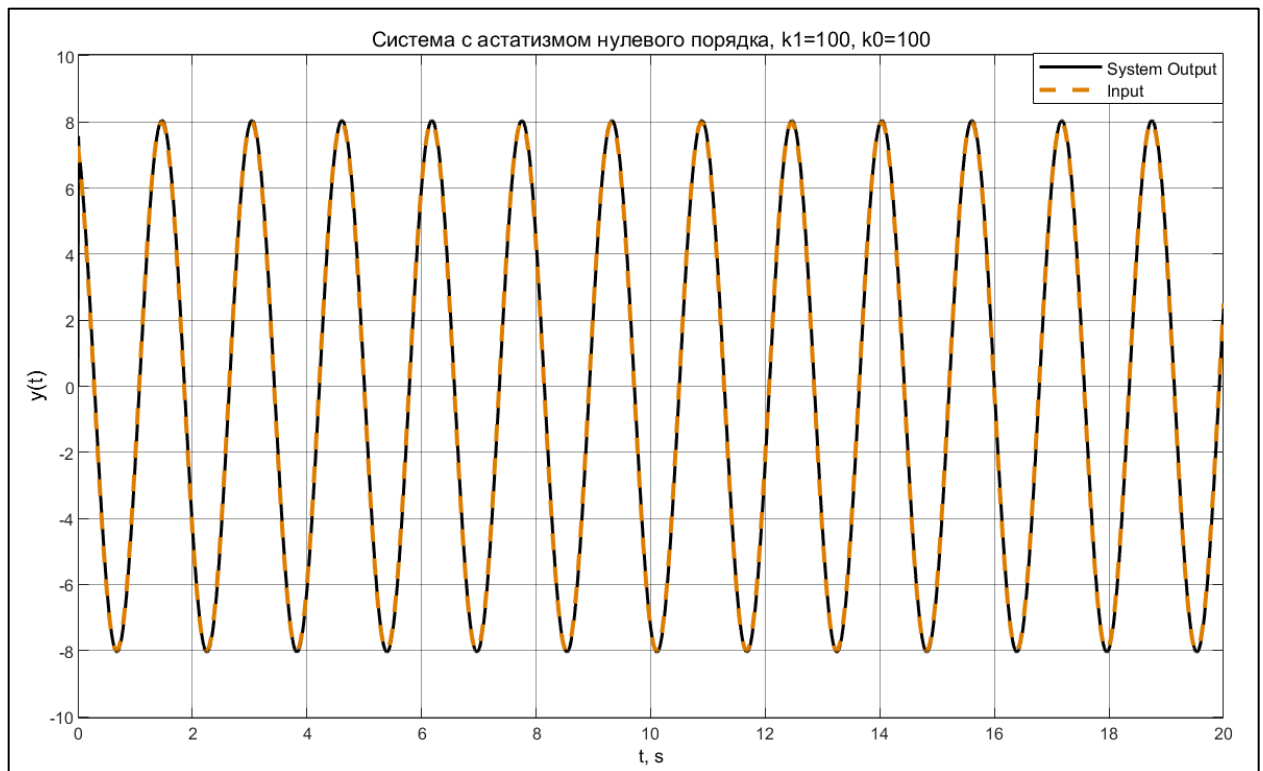


Рисунок 34 - Выход системы при  $k_1 = 100$ ,  $k_0 = 100$

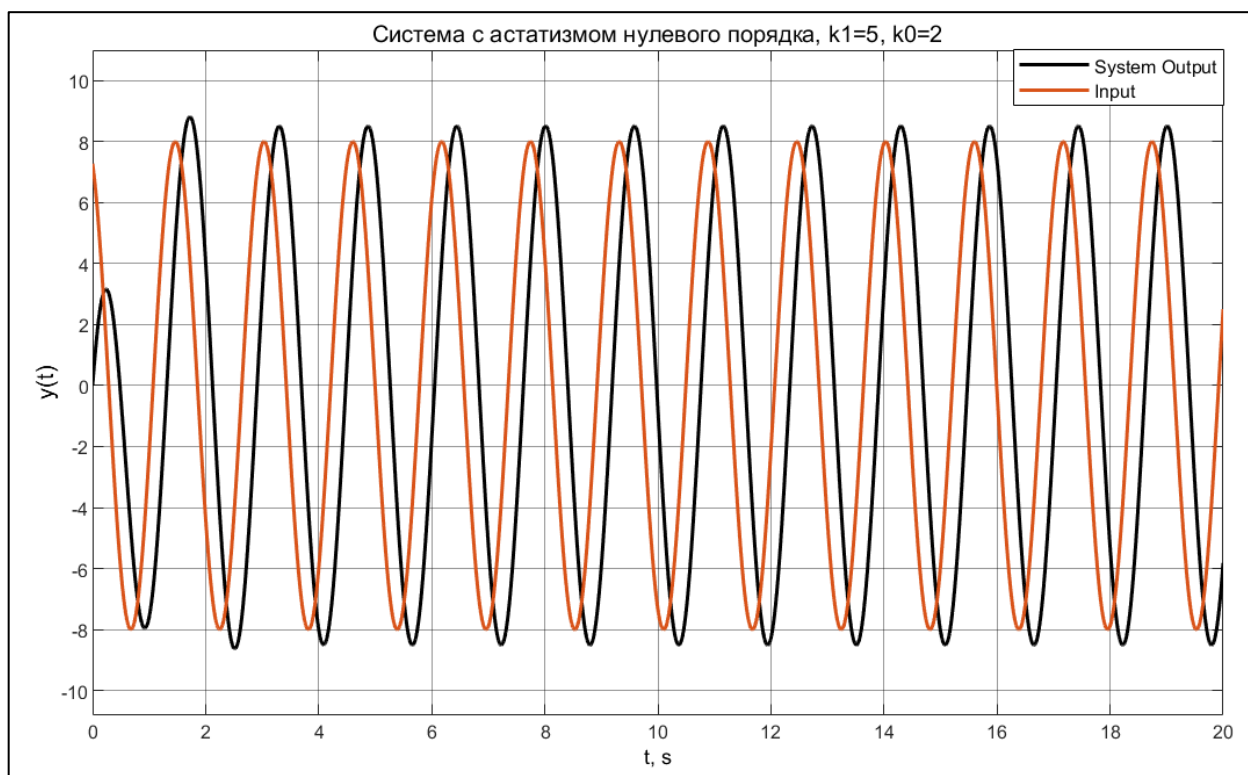


Рисунок 35 - Выход системы при  $k_1 = 5$ ,  $k_0 = 2$

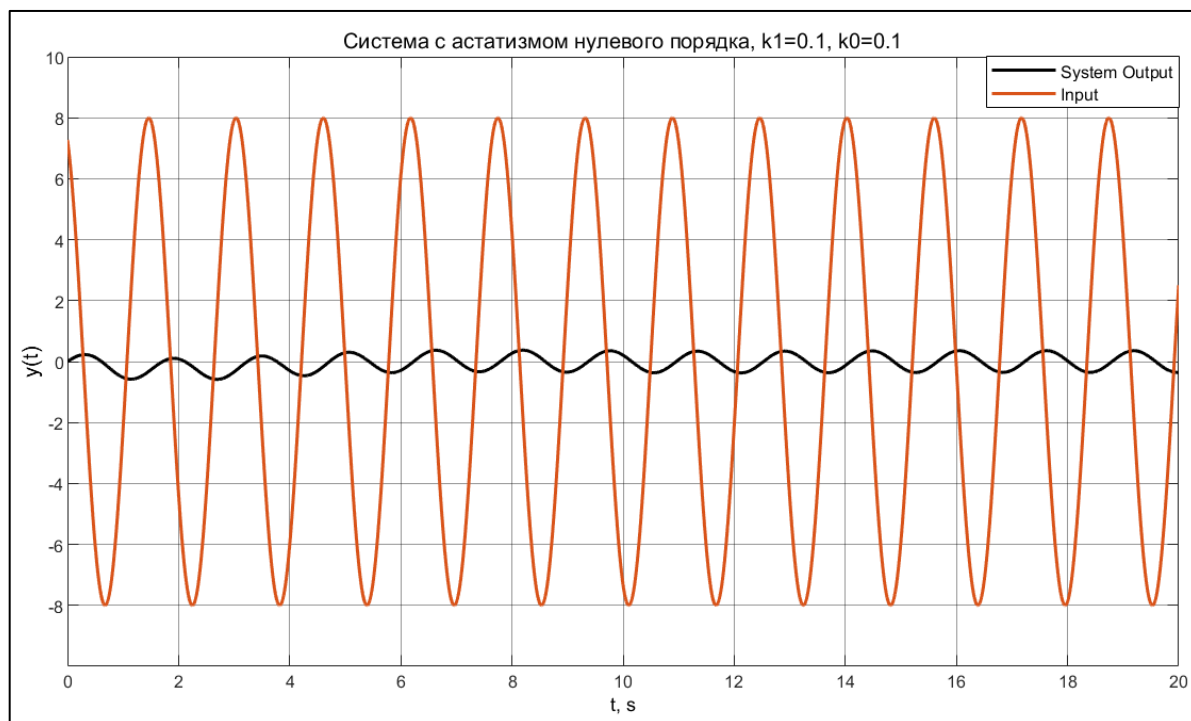


Рисунок 36 - Выход системы при  $k_1 = 0.1$ ,  $k_0 = 0.1$

### **5.3 Выводы по заданию №5 «Задача слежения для системы с астатизмом первого порядка»**

В ходе выполнения упражнения 5 было замечено, что при постоянном значении входа ошибка между значением входа и выходом стремится к нулю по мере приближения времени к бесконечности. Кроме того, изменяя коэффициенты  $k_0$  и  $k_1$ , удастся влиять на время стабилизации системы. С другой стороны, при линейном входе отмечено, что при больших значениях коэффициентов  $k_0$  и  $k_1$  ошибка между значением входа и выходом значительно мала, в отличие от случая с малыми значениями  $k_0$  и  $k_1$ , что приводит к большой ошибке. Также была проведена аналитика того, что при использовании гармонической функции на входе, аналогично линейному входу, ошибка очень мала при больших значениях коэффициентов  $k_0$  и  $k_1$

# ЗАКЛЮЧЕНИЕ

В ходе выполнения лабораторной работы было проведено исследование различных аспектов систем управления. В первом эксперименте были найдены коэффициенты для второго порядка системы с неустойчивым полюсом, и успешно введен регулятор, обеспечивающий устойчивость системы. Во втором эксперименте была произведена замена дифференциатора, аналитически определено критическое значение параметра  $T$  и проведено моделирование для различных значений  $T$ . Третий эксперимент выявил влияние шума на систему с идеальным и реальным дифференцирующими звеньями. Четвертый эксперимент анализировал систему с астатизмом нулевого порядка, выявляя влияние коэффициента  $K$  на выход системы. Наконец, в пятом эксперименте исследовалась система с астатизмом первого порядка, показывая, что при постоянном входе ошибка стремится к нулю, и влияние коэффициентов  $k_0$  и  $k_1$  на время стабилизации системы.

В целом, проведенные исследования позволили получить глубокое понимание различных аспектов работы систем управления и их чувствительности к различным входным параметрам.